

# بررسی طراحی و ساخت Arealometer به منظور اندازه گیری رسیدگی و ظرافت الیاف پنبه

امیر حسین صالحی<sup>۱\*</sup>، حامد قصاتی<sup>۲</sup>، ناهیدانصاری<sup>۳</sup> و وجیهه ملکی<sup>۴</sup>

- ۱- کارشناس ارشد شیمی نساجی ، دانشگاه صنعتی امیر کبیر
- ۲- کارشناس شیمی نساجی ، دانشگاه صنعتی امیر کبیر
- ۳- استادیار و عضو هیات علمی دانشکده نساجی ، دانشگاه صنعتی امیر کبیر
- ۴- مریب و عضو هیات علمی دانشکده نساجی ، دانشگاه صنعتی امیر کبیر

## چکیده

از مشخصه های مهم الیاف پنبه ظرافت و رسیدگی آن می باشد ، اندازه گیری سریع و دقیق این مشخصه ها در صنعت نساجی حائز اهمیت می باشد .

هدف از این تحقیق طراحی سیستمی است که دو کمیت فوق را که وابسته به سطح مخصوص الیاف پنبه است اندازه گیری نماید. اندازه گیری بر مبنای عبور هوا به عنوان سیال از بستر جامد متخلخل شامل الیاف با فشردگی های متفاوت است. پس از طراحی و ساخت ، دستگاه با نمونه های الیاف با ظرافت و رسیدگی معین کالیبره گردید. سپس نمونه های پنبه مجهول مورد بررسی قرار گرفت و نتایج تجربی سطح مخصوص بدست آمده از دستگاه با نتایج حاصل از دستگاه های میکروونر و میکروسکوپ پروژکتیبا برای همان نمونه مقایسه گردید.

واژگان کلیدی : ظرافت ، رسیدگی ، بستر الیاف ، نفوذ هوا

## مقدمه :

الیاف پنبه به عنوان یک لیف سلولزی طبیعی دارای خصوصیات متفاوتی است که از جمله آنها می توان به زیر دست نرم و راحت، قابلیت جذب بالا، رنگ پذیری و ثبات رنگ بالا، قابلیت چاپ جذب و قابلیت کاربرد آسان که خود موجب استفاده از پارچهای پنبه ای در مصارف گوناگون مثل لباسهای شنا، ورزشی و ... شده است [۱].

در مورد الیاف پنبه، علاوه بر ظرافت، رسیدگی نیز یکی دیگر از پارامترهای مهم جهت رسیدگی این الیاف می باشد. از این رو تا کنون تحقیقات مهم و وسیعی جهت طراحی و ساخت دستگاه های متفاوت برای اندازه گیری این دو پارامتر صورت گرفته که از آن جمله می توان به میکروونر برای سنجش ظرافت و میکروسکوپ پروژکتیبا و HVI جهت سنجش رسیدگی اشاره کرد [۲].

اساس دستگاههایی مثل میکروونر و arealometer بر پایه جریان هوا و عبور آن از بستر متخلخل پنبه است که پیدایش آن بر اساس اندازه گیری سطح مخصوص الیاف از فرمول kozeny می باشد [۳].

وقتی که مایع یا گازی تحت سرعت کم حاوی ذرات جامد عبور کند به شرطی که ذرات جامد حرکت نکنند ، فشار جریان سیال پس از عبور از طول بستر دچار افت می شود که این افت فشار به ضریب شکلی بستر که در بهترین حالت ذرات کروی در نظر گرفته می شوند، وابسته است و همان طور که مشخص است ضریب شکلی نیز خود به سطح مخصوص اجسام وابسته است .

\* amir\_salehi\_k@hotmail.com

ارتباط جریان هوا و عبور آن از سطح متخلخل با سطح پیروزی ذرات را اصلاح کرد، به این صورت که حجم و سطح ذرات در افت فشار بسیار مؤثر است، بر طبق این نظریه، رابطه ۱ را برای ارتباط دبی عبوری با فشار را بیان نمود:

$$Q = K_a \Delta P \varepsilon^3 / \mu A^2 L (1 - \varepsilon)^2 \quad \text{رابطه ۱ :}$$

در رابطه ۱،  $Q$  دبی عبوری سیال،  $L$  طول بستر،  $\Delta P$  اختلاف فشار در طول لوله،  $\varepsilon$  ضریب تخلخل محیط،  $\mu$  ویسکوزیته سیال،  $A$  مساحت سطح مقطع در دسترس برای عبور سیال است. هرتل [۴] نشان داد که  $k$  در رابطه ۱ به عنوان ضریب شکلی شناخته شد، هم به فاکتور شکل و هم به ضریب آرایش یافتنگی در مورد الیاف پنهانه بستگی دارد و این رابطه تجربی را بدست آورد،  $K = \frac{k}{\varepsilon} \cdot \frac{1}{L}$  که در آن  $k$  فاکتور شکل و  $\varepsilon$  ضریب آرایش یافتنگی است، که البته  $k$  از فرمول اصلی طبق آنچه قبلاً بیان شد، قابل محاسبه است.

بر اساس تئوریهای بیان شده و اینکه با تغییر طول بستر الیاف می‌توان دو نوع سطح مخصوص را بدست آورد سیستم Arealometer طراحی و ساخته شد که پایه گذاری آن نیز از دستگاهی بود که هرتل طراح آن بود [۴].

چنانچه الیاف در یک سیلندر با طول ثابت قرار گیرد و جریان هوا از میان آن عبور کند یک بستر کاتالیستی حاصل از الیاف ایجاد می‌شود که باعث افت فشار هوای عبوری می‌گردد. چنانچه جریان با سرعت کم از بستر عبور کند و ذرات بستر نیز به اندازه کافی کوچک باشند و در عین حال در اثر عبور جریان حرکت نکنند، یک جریان لایه ای خواهیم داشت. فشار در طی عبور از بستر، افت پیدا می‌کند در این شرایط اگر گرادیان سرعت را بالا ببریم، افت فشار افزایش پیدا می‌کند. اگر طول بستر و مکان ذرات بستر تغییر نکند، گاهی هنگام عبور جریان سیال از بستر کمی منبسط می‌شود. انساط حاصله باعث افزایش فضای خالی میان بستر ( $\varepsilon$ ) شده و در نتیجه باعث افزایش سرعت عبور سیال از بستر ( $V^\circ$ ) می‌شود. و از آنجایی که  $V^\circ = V^\circ / \varepsilon$  و نسبت افزایش این دو تقریباً مشابه و وابسته به هم است،  $V^\circ$  ثابت شده و  $\Delta P$  در طول آزمایش ثابت می‌ماند. این پدیده عملاً در یک سیستم جریان هوا در arealometer صورت می‌گیرد در حالی که در میکرونر عملاً این پدیده وجود ندارد، بنابراین کل آزمایش با افزایش طول بستر و حالت سیالیت (fluidization) همراه است و نتیجه آن ثابت ماندن اختلاف فشار در قبال دبی حجمی ( $Q$ ) است یا به عبارت دیگر مقاومت الیاف برابر است با [۳]:

$$R = \Delta P / Q, \quad Q = V^\circ * A \quad \text{رابطه ۲ :}$$

در این تحقیق با توجه به نظریه‌های محققین که در بالا ذکر گردید دستگاهی طراحی شد تا سطح مخصوص الیاف که با رسیدگی و طرافت الیاف مرتبط است مورد بررسی و اندازه گیری قرار گیرد.

### تجربیات

#### ساخت دستگاه

بر طبق تئوری‌های بیان شده دستگاهی طراحی شد که شامل قسمتهای زیر است:

(الف) ساختار شیشه‌ای

(ب) سیلندر و پیستون

(ج) ساختار بدنه (structure)

نمای دستگاه در شکل ۱ مشاهده می‌شود:

قسمت اصلی ساختار شیشه‌ای، قسمتهای A,B,D,E شامل چهار لوله موئین می‌باشد. مقاومت لوله‌های موئین به دو عامل قطر داخلی و طول لوله بستگی دارد. مقاومت بیان شده به متله یک مقاومت اهمی در برابر جریان الکتریسیته عبوری از آن می‌باشد. در حالی که مقاومت بیان شده در لوله‌های ساده، مقاومت در مقابل فشار عبوری و نقطه شکست لوله می‌باشد. این نوع از مقاومتها هم‌البه برای لوله‌های موئین بسیار مهم است و به وسیله پارامتری که به صورت تفاضل قطرهای داخلی و خارجی آن مشخص می‌شود، بیان می‌شود.

دو مقاومت خروجی یعنی D مقاومتهای معادل شونده با الیاف است. از طریق حدس و خطا لوله‌های موئین با قطر داخلی  $8/0\text{ mm}$  و طول  $10\text{ cm}$  استفاده شد. سیلندر نیز از جنس برنج ساخته شد و جنس پیستون، تفلون درنظر گرفته شد چراکه تفلونها ضریب اصطکاک کمی با برنج دارند و همچنین ضریب سختی آنها در ارتباط با فلزات بالا می‌باشد.

اساس ساختار این دستگاه پل وتسون است. همانطور که در شکل مشخص است، دو لوله A و B دارای مقاومت یکسان هستند. هوا از منبع تغذیه با فشاری برابر  $20\text{ mbr}$ ، وارد لوله‌های A و B می‌شود. هوایی که از لوله B عبور می‌کند به اتمسفر راه دارد و جریان لوله A به مخزن الیاف متوجه می‌شود. پل وتسون دارای دو مقاومت یاد شده و مقاومتهای D و E است که این مقاومتها نیز باید با هم برابر باشند. جریان هوا از لوله D وارد اتمسفر و از جهت E وارد لوله‌ای که متصل به شیر است، می‌شود.

از طرف دیگر جریان هوا وارد لوله C یا همان مخزن الیاف می‌شود، جریان هوا در اثر عبور از مخزن الیاف دچار افت فشار می‌شود که میزان آن توسط مانومتر مشخص می‌گردد. در این حالت مقاومتی که الیاف در برابر هوا ایجاد می‌کند با مجموع مقاومتهای استاندارد و تعیین شده در D و E برابر می‌شود. طول توده الیاف به گونه‌ای باید باشد که وقتی فشار عبوری از توده الیاف ثابت شد بتواند سطح مخصوص را اندازه گیری نماید.

همانطور که بیان شد مقاومت E می‌تواند در مدار باشد یا نباشد، چنانچه شیر بسته باشد، D به تهایی داخل مدار است، پس سیستم در سطح بالاتری از مقاومت قرار داده شده است، لذا در محفظه الیاف باید فشردگی بیشتری در توده الیاف موجود باشد تا مقاومت الیاف با مقاومت لوله‌های موئین برابر شود.

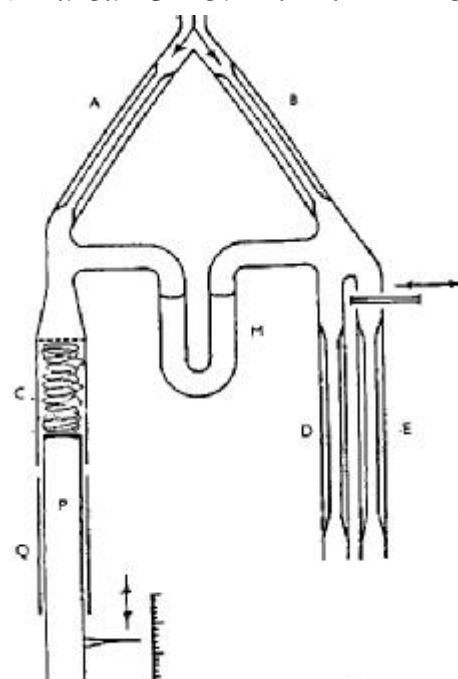
محفظه C حاوی یک پیستون تفلونی است که قطر آن  $8\text{ mm}$  می‌باشد. این پیستون در اثر فشار عبوری از توده الیاف به سمت جلو حرکت کرده و روی درجه‌ای از نمایشگر قرار می‌گیرد که سطح مخصوص را نشان می‌دهد.

در قسمت ورودی سیلندر یک بخش مشبک وجود دارد که خروجی لوله شیشه‌ای در C به این قسمت وصل می‌شود. حالت مشبک روی بخشی از پیستون هم ایجاد شده تا پیستون به حالت یکنواخت و به میزان کافی بیرون برود. آنچه از روی نمایشگر به طور مستقیم خوانده می‌شود سطح مخصوص است که بر حسب

مانومتر M، حاوی آب است که در لوله را نشان می‌دهد. وقتی که سطح مانومتر به حالت هم سطح می‌لوله‌های E و D برابر شود.

### مشخصات نمونه‌ها

برای محاسبات ظرافت و رسیدگی میکروسکوپ پروژکتیون استفاده شد که در رسیدگی بدست آمد.



تفاوت در سطوح آن میزان مقاومت پیستون حرکت می‌کند آب در دو رسید تا مقاومت الیاف با مقاومت

به ترتیب از دستگاههای میکروونر و آن ظرافت برحسب  $\mu\text{g/in}$  و درجه

شکل ۱ : نمایی ساده از دستگاه Arealometer

درجه رسیدگی برای الیاف کاملا رسیده  $1/2$  و برای پنبه های کاملا نارس  $0/2$  است . بدین ترتیب با داشتن مقدار ضریب رسیدگی ( $\theta$ ) ، ضریب نارسی ( $I$ ) از رابطه ۳ محاسبه شد :

$$I=1/\theta \quad \text{رابطه ۳ :}$$

نتایج بدست آمده از آزمایش‌های فوق در جدول ۱ آمده است .

### روش آزمایش و اندازه گیری

جهت آزمایش یک نمونه از الیاف پنبه به وزن  $1/152 \text{ gr/cm}^3$  تهیه شد و بوسیله پنس به حالت موازی در آمد. این الیاف در دو حالت از فشردنگی در محفظه الیاف قرار گرفتند، در حالت اول ، الیاف به صورت کاملا باز و نیز آرایش یافته ، که در این حالت نمایشگر سطح مخصوص اصلی الیاف را نشان می دهد و در حالت دوم که الیاف در آن به صورت کاملا فشرده هستند نمایشگر دوم نوع دیگر از سطح مخصوص ( $S'$ ) را نشان می دهد.

جدول ۱ : نتایج حاصل از میکرونر و میکروسکوپ پروژکتیون

شماره نمونه	عدد میکرونر	رسیدگی	
		رسیدگی	نارسی
۱	۲/۴۵	۰/۶۹	۱/۴۵
۲	۳/۵۵	۰/۷۲	۱/۴۵

۳	۳/۶۵	۰/۶۶۵	۱/۵
۴	۳/۸	۰/۶۶۵	۱/۵
۵	۳/۸	۰/۶۱	۱/۶۴
۶	۳/۳	۰/۵۹	۱/۶۹
۷	۳/۲۵	۰/۶۴۵	۱/۵۵
۸	۳/۵	۰/۷۳۵	۱/۳۶
۹	۳/۵	۰/۸۳۵	۰/۱۹۷

با داشتن مقادیر عدد میکرونر و ضریب نارسی مقادیر سطح مخصوص و سطح مخصوص ثانوی قابل محاسبه است ، زیرا با سیستم عبور سیال از بستر جامد تنها مقدار سطح مخصوص را می توانیم اندازه گیری کنیم. دو نوع سطح مخصوص ( $S'$ ) ( را می توان از روابط  $4$  و  $5$  محاسبه نمود:

$$R = 4369 / H \theta \quad : \quad 4$$

از معادله دیگر  $S'$  بدست می آید که نتایج محاسبه شده در جدول  $2$  آمده است .

$$S' = S + (I^2 - 1) / 0.07 \quad : \quad 5$$

سطح مخصوص دوم با فرض  $S' > S$  بدست می آید ، در سطح مخصوص ثانویه فشردگی و در هم روی الیاف کاملا مشهود است ، در حالی که  $L$  یا همان طول بستر نسبت به سطح مخصوص اول کاهش یافته است ولی هوا از یک بستر کاملا فشرده که ضریب تخلخل آن بسیار پایین است عبور می کند و البته از یک مسیر پر پیچ و تاب ، که این مسیر باعث تشکیل سطح مجازی است .

### نتیجه گیری

نتایج حاصل از آزمایشات و نتایج حاصله از محاسبات انجام شده روی نتایج میکرونر و میکروسکوپ پروژکتینا تا حدودی اختلاف داشت که می تواند به دلایل زیر رخ داده باشد :

- خطا در اندازه گیری رسیدگی با میکروسکوپ پروژکتینا ( خطای دید )
- خطا در اندازه گیری ظرافت الیاف با میکرونر ( اختلاف نتایج در میکرونر مراکز تحقیقات )
- خطای دید در خواندن اعداد روی نمایشگر دستگاه ساخته شده
- کوتاه بودن پیستون و نداشتن تکیه گاه مناسب جهت خارج شدن از محفظه الیاف .

چنانچه منابع بیشتر با محدوده وسیعی از ظرافت و رسیدگی از الیاف پنه در اختیار باشد و همچنین مقادیر رسیدگی و ظرافت این الیاف کاملا استاندارد باشد ، می توان نتایج بهتر و دقیقتری از دستگاه بدست آورد. همچنین می توان ضریب تصحیحی بین نمونه های استاندارد و نتایج حاصله از دستگاه ، از طریق درون یابی نقاط برقرار کرد که باعث دقیقتر شدن نتایج حاصل از تجربیات می گردد.

جدول  $2$  : مقایسه بین نتایج حاصله از تئوری و دستگاه Arealometer

شماره نمونه	نتایج حاصل از تئوری		نتایج حاصله از Arealometer		درصد اختلاف S	درصد اختلاف S'
	S (cm <sup>-1</sup> )	S' (cm <sup>-1</sup> )	S (cm <sup>-1</sup> )	S' (cm <sup>-1</sup> )		
۱	۴۵۱/۱	۴۵۲/۳	۴۶۵	۴۷۰	%-۳/۰۸	%-۳/۹۱
۲	۴۴۱/۴	۴۴۲/۹	۴۲۵	۴۳۰	%۳/۷۲	%۲/۹۱
۳	۴۴۶/۶	۴۴۸/۴	۴۳۵	۴۴۰	%۲/۶	%۱/۸۷
۴	۴۳۸	۴۳۹/۹	۴۲۴	۴۳۵	%۳/۲	%۱/۰۹
۵	۴۵۷/۳	۴۵۹/۷	۴۷۰	۴۸۰	%-۲/۷۸	%-۴/۴۲
۶	۵۰۲	۵۰۴/۸	۵۰۰	۵۰۵	%۰/۱۴	%۰/۰۴
۷	۴۸۰/۶	۴۸۲/۹	۴۸۰	۴۸۵	%۰/۱۹	%-۰/۴۳
۸	۴۳۴/۱	۴۳۵/۳	۴۳۰	۴۴۰	%۰/۹۴	%-۱/۰۸
۹	۴۰۷/۲	۴۰۷/۸	۴۲۰	۴۳۰	%-۳/۱۴	%-۵/۴۴

تشکر و قدردانی :

بدین وسیله از قطب علمی نساجی کشور جهت کمک و یاری رساندن ما در انجام این پژوهه و تقبل هزینه های این تحقیق، کمال تشکر را داریم.

## مراجع

- 1- Xiao Gao, Praveen Kumar Jangala, Cotton Fibers, 1998
- 2- Montalvo Joseph, Faught Sherman, "Analysis of Cotton Maturity & Fineness by Multiple NIR & HVI", Part II, 1998
- 3- Mc Cabe, Warren, "Unit Operation of Chemical Engineering", Mc Graw Hill, 1985
- 4- K. L. Hertel, C. J. Craven, Text. Res. J., 21, 1951,756
- 5- W. E. Morton, S. Radhakrishnan, Text. Res. J. 61, 1954, T774
- 6- R. S. Krowiki, D. P. Thiobodeaux, Text. Res. J., 61, 1991, 309